

**RESSOURCES
COGITORE
INC.**

1300, boul. Saguenay, bureau
200
Rouyn-Noranda
(Québec) Canada J9X 7C3
Tél.: 819-764-6666
Fax: 819-764-6404



**Rapport sur la compilation
et le levé géologique**

Projet Loveland

PN: 202

2.33144

**Canton Loveland
Ontario
S.N.R.C. 42 A/12**

**Benoit Lafrance, géo, Ph. D.
Géologue Senior
(Ordre des géologues du
Québec #662)
blafrance@cogitore.com**

septembre, 2006



RÉSUMÉ

La propriété Loveland est localisée au nord-ouest de Timmins en Ontario, plus précisément au nord du camp minier de Kamiskotia et à l'ouest de la mine Kidd Creek. Une intersection minéralisée en Zn-Cu, probablement de type sulfures massifs volcanogènes, est connue sur cette propriété. Les travaux de forages effectués sur la propriété n'ont cependant pas réussi à intersecter d'autres intervalles minéralisés significatifs. D'un autre côté, les travaux de géophysiques ont définis des anomalies alignées selon un axe NE-SW. La nature de ces conducteurs qui peuvent être concordants ou discordants à la stratigraphie n'est pas bien établie. Un travail de compilation ainsi qu'un levé géologique ont donc été effectués afin de définir la stratigraphie et la nature des conducteurs géophysique de la propriété Loveland.

Les résultats de ce travail montrent que la séquence volcanique de la propriété Loveland est constituée de basalte, d'andésite-dacite, de rhyolite, de formation de fer et d'argilites graphiteuses. Les contacts lithologiques de ces unités sont orientés NE-SW, tout comme les conducteurs géophysiques. Les linéaments géophysiques sont donc associés à la présence des argilites graphiteuses et des formations de fer.

La caractérisation lithogéochimique de ces unités a permis de reconnaître la différence qui existe entre les volcanites de la propriété et celles du camp minier de Kamiskotia et de la mine Kidd Creek.

Il appert donc que les anomalies géophysiques soient associées à des formations géologiques et que le contexte stratigraphique de la propriété ne montre pas le potentiel de découverte qui est associé aux séquences de Kamiskotia et de Kidd Creek.

INTRODUCTION

La propriété Loveland est située dans un secteur particulièrement intéressant puisqu'elle se situe au nord du camp minier de Kamiskotia et à l'ouest du gisement de classe mondiale de la mine Kidd creek. La propriété Loveland pourrait donc être localisée dans l'extension d'une de ces deux séquences volcaniques à fort potentiel pour les gisements de sulfures massifs volcanogènes (SMV). Nos travaux visaient donc, en partie, à mieux comprendre le contexte stratigraphique de la séquence volcanique de notre propriété ainsi qu'à compiler les données disponibles.

Les activités d'exploration dans ce secteur ont débutées seulement au début des années soixante avec la venue des travaux de géophysique puisqu'il n'y a presque pas d'affleurement de surface. Le seul indice métallique d'intérêt de la propriété est une intersection de 1,55m à 2,87% Zn et 0,33% Cu dans le forage RL-2 de Mespî Mine en 1965. Cette minéralisation se trouve dans un tuf felsique interstratifié avec des sédiments graphiteux qui contient un niveau massif de 0,5m de pyrrhotine avec trace de sphalérite. Les travaux de forage effectués par la suite à la fin des années 80 n'ont pas réussi à intersectés d'autres intervalles minéralisées significatives. Un des buts de nos travaux était donc de définir l'attitude des strates ainsi que l'altération, le style et la position stratigraphique de la minéralisation.

Ce rapport présente les travaux de compilations géologiques effectués à l'hiver 2006 ainsi que les résultats d'un levé géologique effectué en mai 2006. Des échantillons lithogéochimiques et d'analyses pour les métaux ont été prélevés en affleurement lors du levé ainsi que dans les anciens forages de Mespî Mine (carothèque de l'OGS à Timmins) et de Falconbridge Limited.

LOCALISATION

Le projet Loveland (PN-202) de Ressources Cogitore Inc. est localisé environ 40 kilomètres au nord-ouest de Timmins en Ontario (Figure 1). La propriété est facilement accessible via la route pavée 576 qui mène au Lac Kamiskotia, puis par une route forestière qui passe par le lac Half Moon (Figure 1). La propriété est située dans le feuillet SNRC 42A/12 et consiste en un bloc de 11 claims contigus localisés dans le coin sud-ouest du canton Loveland (Figure 2). La liste complète des claims est présentée ci-dessous :

1199701	1199707
1199702	1199708
1199703	1199709
1199704	3006641
1199705	3006642
1199706	

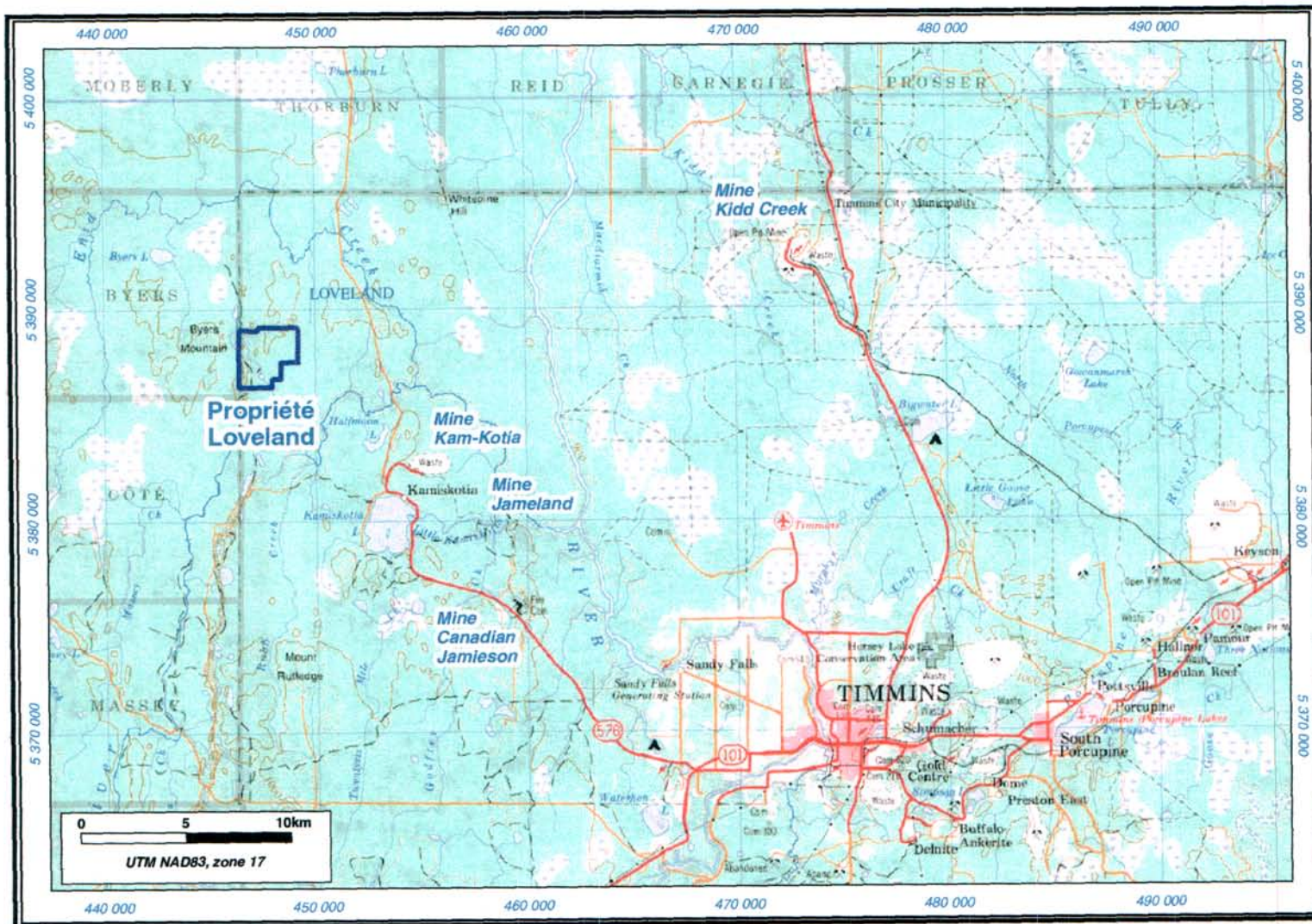
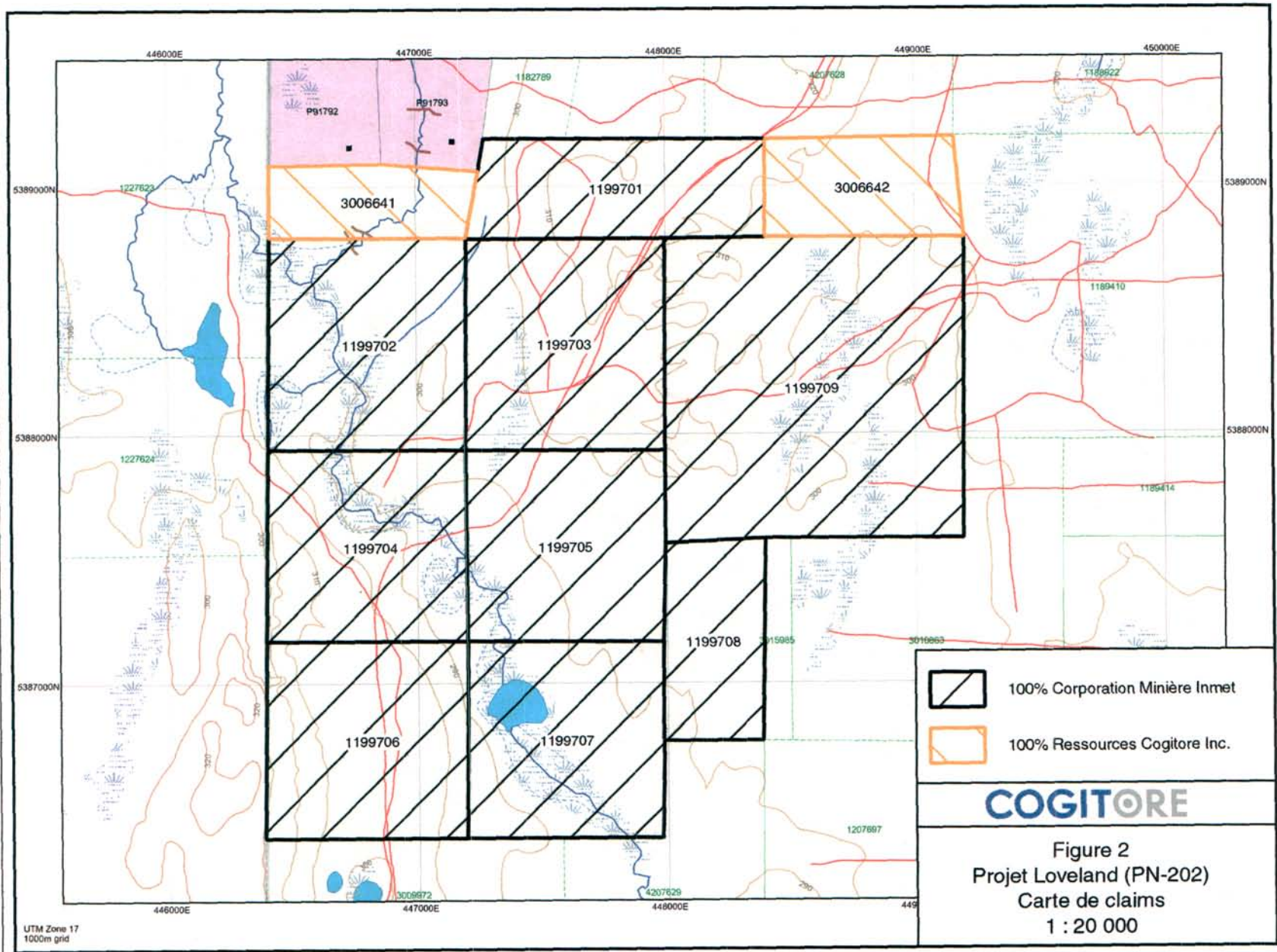


Figure 1 : Carte de localisation de la propriété Loveland

S



TRAVAUX ANTÉRIEURS

Les travaux d'exploration répertoriés dans ce secteur sont relativement récents et ont débutés avec le levé aéroporté de ConWest Exploration Co. Ltd. en 1961 qui a permis de localiser des anomalies. Un suivi à par la suite été effectué par des travaux de géophysiques au sol et par quatre forages aux diamants de Mespi Mine Ltd mettant fin à une première phase d'exploration.

Il faut attendre les années 80 pour voir la reprise de travaux sur la propriété par Kidd Creek Mines Ltd. (levé géologique et géophysiques, 1983-84) et Falconbridge Ltd. (huit forages aux diamants, 1988-89). Un dernier forage à également été fait en 1996 par Falconbridge Ltd. En 2004, Woodruff Capital Management Inc. (maintenant Ressources Cogitore Inc.) à effectué des levés électromagnétique et magnétique aux sols.

D'autres travaux d'exploration effectués en périphérie de la propriété ont également été consultés pour cette compilation. Le tableau 1 résume les travaux d'exploration minière significatifs qui ont été effectués sur la propriété et sur les claims adjacents.

Les travaux de synthèse et de cartographie du canton Loveland sont également peu nombreux. Berry et Ferguson (1944) à été le premier à effectuer un levé géologique du canton (Ferguson et Berry, 1959). Une révision de la géologie et de la géophysique du canton à ensuite été publiée sous forme de carte de canton par Bright et Hunt (1973). Très récemment, les travaux de cartographie de Hathway et al. (2005) ont couvert une partie du canton Loveland sans toutefois toucher la portion de la propriété. Les travaux de géophysique effectués dans le canton ont été compilés par Middleton (1974) sous forme de rapport. La commission géologique de l'Ontario à effectuée un levé électromagnétique aéroporté du canton en 1988 (Géoterrex Ltd., 1988). Récemment, un levé magnétique et électromagnétique Mégatem à également été réalisé par la Commission géologique de l'Ontario (2003). Les travaux géophysiques ont définies plusieurs anomalies situées sur la propriété.

GÉOLOGIE RÉGIONALE

La propriété Loveland est localisée en Ontario dans la portion ouest de la ceinture de roches vertes de la Sous-province de l'Abitibi. Récemment les travaux de la Commission géologique de l'Ontario ont permis de diviser la portion ontarienne de l'Abitibi en 11 assemblages lithostratigraphiques (Ayers et al., 2005). Les roches immédiatement au sud de la propriété font parties du complexe volcanique de Kamiskotia qui est l'hôte de plusieurs gisements de sulfures massifs volcanogènes. Les plus récentes études, notamment les datations isotopiques, ont démontrées que cette séquence appartient à l'assemblage de Blake River (2703,1 +/- 1,2 à 2698,6 +/- 1,3Ma; Hathway et al., 2005). Les roches immédiatement à l'est de la propriété ont aussi été datées (2714,6 +/- 1,2 Ma) et sont assignées à l'assemblage de Kidd-Munro qui est l'hôte de la mine Kidd Creek (Hathway et al., 2005). Bien que le contexte stratigraphique des roches au sud et à l'est soit bien connu, la position stratigraphique de la séquence volcanique de la propriété n'est pas bien comprise puisque les travaux d'Hathway et al. (MAP P.3556; 2005) se termine juste à l'est de la propriété. Il demeure néanmoins qu'il s'agit d'un secteur à fort potentiel.

Tableau 1. Résumé des travaux d'explorations minières

Année	Compagnie	Numéro de dossier d'exploration (AFRI)	Nature des travaux
1961	Conwest Exploration Co. Ltd.	42A12NE0634	<ul style="list-style-type: none"> • Levés électromagnétique et magnétique aéroportés
1965	Mespi Mines Ltd.	42A12NE0600	<ul style="list-style-type: none"> • Levé électromagnétique au sol • Forages RL-1 à RL-4 • 2,87% Zn ; 0,33% Cu / 1,55m (forage RL-2)
1979	Gulf minerals	42A14SW0105	<ul style="list-style-type: none"> • Forages à circulation renversée R-1 à R-182 (à l'est de la propriété)
1983	Kidd Creek Mines Ltd.	42A12NE0574	<ul style="list-style-type: none"> • Levé géologique
1984	Kidd Creek Mines Ltd.	42A12NE0573	<ul style="list-style-type: none"> • Levés électromagnétique et magnétique au sol
1988	Falconbridge Ltd.	42A12NE0571	<ul style="list-style-type: none"> • Forages L11-3 à L11-5 • 0,36% Zn, 0,01% Cu / 1,50m (forage L11-5)
1989	Falconbridge Ltd.	42A12NE0562	<ul style="list-style-type: none"> • Forages L11-6 à L11-10
1989	Noranda Exploration Co. Ltd.	42A12NE0567	<ul style="list-style-type: none"> • Forages FPL-89-01 (au sud de la propriété)
1990	Noranda Exploration Co. Ltd.	42A12NE8371	<ul style="list-style-type: none"> • Forages FPL-89-02 (au sud de la propriété)
1996	Falconbridge Ltd.	42A12NE0052	<ul style="list-style-type: none"> • Forages L11-11

1996	Driver Resourced Inc.	42A12NE0073	<ul style="list-style-type: none"> • Levés magnétique et IP • Forages LV-95-1 à LV-95-6
2001	Morgan-Barnes property	42A12NE2030	<ul style="list-style-type: none"> • Levé géologique de détails (décapages au nord de la propriété)
2001	Explorers Alliance Corporation	42A12NE2026	<ul style="list-style-type: none"> • Géochimie (rééchantillonnage de forages de Noranda au sud de la propriété).
2001	Explorers Alliance Corporation	42A12NE2024	<ul style="list-style-type: none"> • Forage ERN01-1 (au sud de la propriété)
2001	Explorers Alliance Corporation	42A12NE2016	<ul style="list-style-type: none"> • Forages ERN01-02 et ERN01-03 (au sud de la propriété)
2004	Woodruff Capital Management Inc.	42A12NE2065	<ul style="list-style-type: none"> • Levé électromagnétique au sol
2004	Woodruff Capital Management Inc.		<ul style="list-style-type: none"> • Levé magnétique au sol

GÉOLOGIE DE LA PROPRIÉTÉ LOVELAND

La nouvelle carte géologique établie à partir du levé géologique et de la compilation des travaux existants est présentée à l'annexe 1. Il existe très peu d'affleurements sur la propriété pour nous permettre de connaître la direction et le pendage des unités volcaniques. De plus, les différentes cartes géologiques disponibles (Bright et Hunt, 1973; Middleton, 1974) sont contradictoires à ce sujet. Il est cependant maintenant bien connu que les contacts rhyolite/basalte de l'assemblage Kidd-Munro à l'est de la propriété ont une attitude NS à NNW (Hathway, 2005). Par contre, il existe du rubanement d'écoulement à l'intérieur des rhyolites de cet assemblage qui est orienté NE-SW (carte géologique Annexe 1). Cette orientation NE-SW est la même que celle des anomalies détectées dans tous les levés géophysiques effectués sur la propriété (ConWest Explo. Co. Ltd., 1961; Mespi Mines Ltd., 1965; Kidd Creek Mines Ltd., 1984; Woodruff Capital Management Inc., 2004). Ces conducteurs géophysiques d'orientation NE-SW peuvent représenter une unité stratigraphique ou un élément discordant à l'attitude des strates. Un des buts du levé géologique et de la compilation était donc d'établir la nature de ces conducteurs géophysiques.

La visite d'affleurements lors du levé géologiques a permis d'observer que les strates elles-mêmes sont orientées NE-SW. La formation de fer à magnétite (photo page couverture) de l'affleurement LOV-06-03 possède une attitude de N042/77 (carte géologique, annexe 1), une orientation semblable aux coussins observés sur un affleurement immédiatement au nord de la propriété qui ont une attitude de 020/75 (Beecham, 2001). Cette orientation NE-SW avec des pendages moyens vers le SE d'une partie des unités de la propriété a par la suite été confirmée par la compilation des trous de forages en section. Une faille est donc interprétée au contact entre les strates NE-SW de la propriété et les strates NS à NNW à l'est de la propriété. Cette structure est la continuité de la faille qui sépare les assemblages de Blake River et de Kidd-Munro sur la carte géologique de Hathway (2005). La trace de cette faille marque également l'endroit où les linéaments géophysiques NE-SW s'estompent (ConWest Explo. Co. Ltd., 1961; Mespi Mines Ltd., 1965; Kidd Creek Mines Ltd., 1984; Woodruff Capital Management Inc., 2004).

Les unités volcaniques de la propriété sont recoupées à l'ouest et au nord-est par des intrusions mafiques et felsiques ainsi que par des dykes de diabase N-S qui possèdent une signature géophysique significative.

STRATIGRAPHIE

Les unités volcaniques de la propriété peuvent être divisées en deux suites qui sont situées de part et d'autre de la faille qui traverse la propriété. Les unités à l'est de la faille font parties de l'assemblage Kidd-Munro tel que défini par Hathway et al. (2005). Il s'agit de rhyolite aphyrique ou à phénocristaux de quartz (3-5% qtz de 1-3mm) et d'andésite basaltique. Les rhyolites sont généralement gris moyen et massives et possèdent localement des rubanements d'écoulement (Hathway et al., 2005). Les andésites basaltiques sont massives ou coussinées avec de petits phénocristaux de plagioclase (<1mm) dans une mésostase de chlorite-amphibole-quartz.

Les unités situées à l'ouest de la faille ne sont pas incluses dans un assemblage stratigraphique strict et sont donc nommés ici la suite de la propriété Loveland. Ces unités sont constituées de basalte, andésite-dacite, rhyolite, de formation de fer à magnétite et d'un horizon d'argilite graphiteuse interstratifiée avec des tufs lithiques felsiques. Les basaltes, qui ont été observés seulement en forage, sont massifs ou coussinés. L'andésite-dacite est constituée d'un faciès de tuf à lapillis qui a été observée en affleurement et en forage. Sur l'affleurement LOV-06-01, le tuf andésitique contient 20% de fragments de 2mm à 3cm qui sont silicifiés et pyritisés (1% Py). La formation de fer à magnétite a été observée sur l'affleurement LOV-06-03. Elle est constituée de lits de 1 à 5 cm de magnétite massive interstratifiée avec des lits centimétriques de matériel vert pâle probablement composé d'amphiboles avec des traces de pyrite (photo page couverture). La rhyolite est observée seulement en forage. Elle est aphyrique et constituée surtout de tuf à lapillis avec quelques intervalles massifs. L'horizon d'argilite graphiteuse d'une puissance de 1 à 3 mètres est interstratifié avec des tufs lithiques felsiques et des lits pyriteux. Certains de ces lits pyriteux contiennent également de la pyrrhotine et de la sphalérite et peuvent atteindre 0,5m de puissance.

GÉOCHIMIE

Des échantillons de lithogéochimie ont été prélevés dans les anciens trous de forages de Mespri Mine (carothèque de l'OGS à Timmins) et de Falconbridge Ltd. Ces résultats d'analyse sont présentés au tableau 2. Le traitement de ces nouvelles analyses lithogéochimiques ainsi que des analyses déjà disponibles dans les dossiers d'exploration minière et les études (Hatway et al., 2005; Barrie, 2004; Schandl et al., 1999) a permis de caractériser les deux différentes suites volcaniques de la propriété.

Le diagramme de classification de Winchester et Floyd montre que l'assemblage Kidd-Munro est constitué de rhyolites et d'andésite basaltiques alors que la suite Loveland est constituée de rhyolite, d'andésite-dacite et de basalte (figure 3). On remarque la position différente des rhyolites de Kidd-Munro et de Loveland ainsi que la présence de deux basaltes différents dans la suite Loveland.

Le diagramme d'affinité magmatique Zr/Y permet de définir une affinité tholéiitique pour les rhyolites de Kidd-Munro et de Loveland (figure 4). Cependant les rhyolites de Kidd-Munro contiennent plus de Zr (150-340 ppm) que celle de Loveland (80-120 ppm).

Les diagrammes pour les éléments des terres-rares permettent également de distinguer les deux suites de roches. Les basaltes de Loveland possèdent des profils clairement tholéiitique, dans le cas des basaltes de types 2, ou à tendance transitionnelle pour les basaltes de type 1 (figure 5). L'andésite-dacite possède une affinité calco-alkaline alors que la rhyolite de Loveland est clairement tholéiitique avec un profil des terres-rares plat (figure 5). La figure 6 montre les profils des terres-rares pour l'andésite basaltique de Kidd-Munro (transitionnelle) et la rhyolite de Kidd-Munro (transitionnelle).

La comparaison des rapports Zr/Y et des profils pour la rhyolite de Kidd-Munro et la rhyolite de Loveland montre clairement qu'il ne s'agit pas des mêmes unités. De plus la comparaison de ces résultats avec les données pour les rhyolites de Kamiskotia (Hatway et al., 2005) permet également de dire que la rhyolite de Loveland est différente des rhyolites de Kamiskotia de l'assemblage de Blake River.

Tableau 2. Analyses lithogéochimiques

Échantillon	72551	72552	72649	72650	76748	76749	76750
Lithologie	Rhyolite aphy.	Bas	Rhyolite aphy.	Rhyolite aphy.	Rhyolite aphy.	Bas	Rhyolite aphy.
Source	Mespi mine (rééchantillonné)	Mespi mine (rééchantillonné)	Falconbridge (rééchantillonné)	Falconbridge (rééchantillonné)	Falconbridge (rééchantillonné)	Falconbridge (rééchantillonné)	Falconbridge (rééchantillonné)
Forage	RL-1	RL-3	L-11-11	L-11-11	L-11-09	L-11-10	L-11-10
UTME							
(Nad83-17)	447732,02	447951,02	448208,70	448186,41	448145,43	447543,88	447500,83
UTMN		5387474,2					
(Nad83-17)	5387090,91	0	5387038,43	5387050,78	5388042,48	5386662,09	5386682,65
Altitude	237,66	229,44	-4,20	-74,21	155,46	182,44	92,41
DE	71,95	93,30	318,50	393,00	196,00	122,60	224,50
Å	72,25	93,60	318,80	393,30	196,30	122,90	224,80
SiO2 (%)	73,03	50,75	74,16	73,75	74,7	50,61	72,89
TiO2	0,44	2,14	0,06	0,1	0,18	2,79	0,25
Al2O3	12,86	13,99	13,92	13,22	13,31	13,38	13,96
Fe2O3	2,88	16,45	1,53	2,04	2,19	19,52	2,3
MnO	0,08	0,29	0,02	0,01	0,05	0,27	0,03
MgO	0,37	3,31	0,28	0,27	0,39	2,68	0,11
CaO	2,45	8,93	1,76	1,53	2,63	7,19	1,24
Na2O	3,45	2,81	4,07	3,53	2,93	1,7	5,42
K2O	2,26	0,25	2,2	3,28	2,02	0,43	2,11
P2O5	0,07	0,38	0,02	-0,01	0,02	0,43	0,04
Cr2O3	-0,01	0,01	0,01	0,02	-0,01	-0,01	-0,01
LOI	1,9	0,74	1,81	1,26	1,52	0,9	1,3
Total	99,88	100,1	99,94	99,16	100	99,93	99,7
Ag (ppm)	-1	-1	2	-1	-1	-1	-1
Ba	400	180	860	1180	410	220	380
Ce	33	36,7	26,4	24	83,6	45,5	20,2
Co	5,3	36,3	2,1	3,5	1,7	34,4	2,6
Cr	70	50	10	20	10	10	20
Cs	0,61	0,18	0,53	1,16	1,09	1,06	0,5
Cu	18	15	11	8	28	16	23
Dy	9,19	7,95	13,55	11,6	8,17	8,98	14,3
Er	6,26	4,86	9,12	8,06	5,21	5,49	9,93
Eu	1,24	2,51	1,32	1,34	1,85	2,07	1,4
Ga	19,2	20,5	26,1	23,3	20,5	24	22,1
Gd	7,3	7,43	9,65	8,33	8,46	8,33	9,51
Hf	4,8	4,7	5,6	5,3	5,7	6,1	5,4
Ho	2,01	1,62	2,92	2,58	1,69	1,99	3,24
La	13,7	13,4	10	9,3	37,4	17,6	7,3
Lu	0,89	0,72	1,33	1,21	0,77	0,83	1,42
Mo	-2	-2	-2	2	-2	-2	2
Nb	18,8	12	23,6	20,2	13,6	12,6	21,4
Nd	19,1	24,6	18,6	15,5	39,3	29,1	14,8
Ni	23	35	-5	6	6	-5	5
Pb	-5	-5	12	-5	10	-5	6
Pr	4,44	5,2	3,77	3,34	9,88	6,49	2,9
Rb	61,6	4,4	71,5	64,6	46,7	18,2	48,7
Sm	5,87	6,37	7,55	5,97	7,97	7,55	6,43
Sn	4	2	7	2	3	2	4
Sr	73,5	158	73,2	61,2	98,2	116	48,1
Ta	1,1	0,6	1,9	1,7	1,1	0,7	1,7
Tb	1,43	1,3	2,01	1,74	1,38	1,56	2,02
Th	3,21	0,98	5,12	4,86	4,88	1,24	4,41
Tl	-0,5	-0,5	-0,5	-0,5	-0,5	-0,5	-0,5
Tm	0,93	0,71	1,36	1,18	0,76	0,97	1,45
U	0,96	0,18	1,73	1,56	1,06	0,31	1,5
V	35	71	-5	-5	-5	69	-5
W	1	-1	3	6	9	5	6
Y	60	49	93	78	52	57	104
Yb	6,26	4,82	9,16	8,18	5,27	5,15	9,84
Zn	56	172	179	47	72	226	225
Zr	136	191	109	115	185	225	122

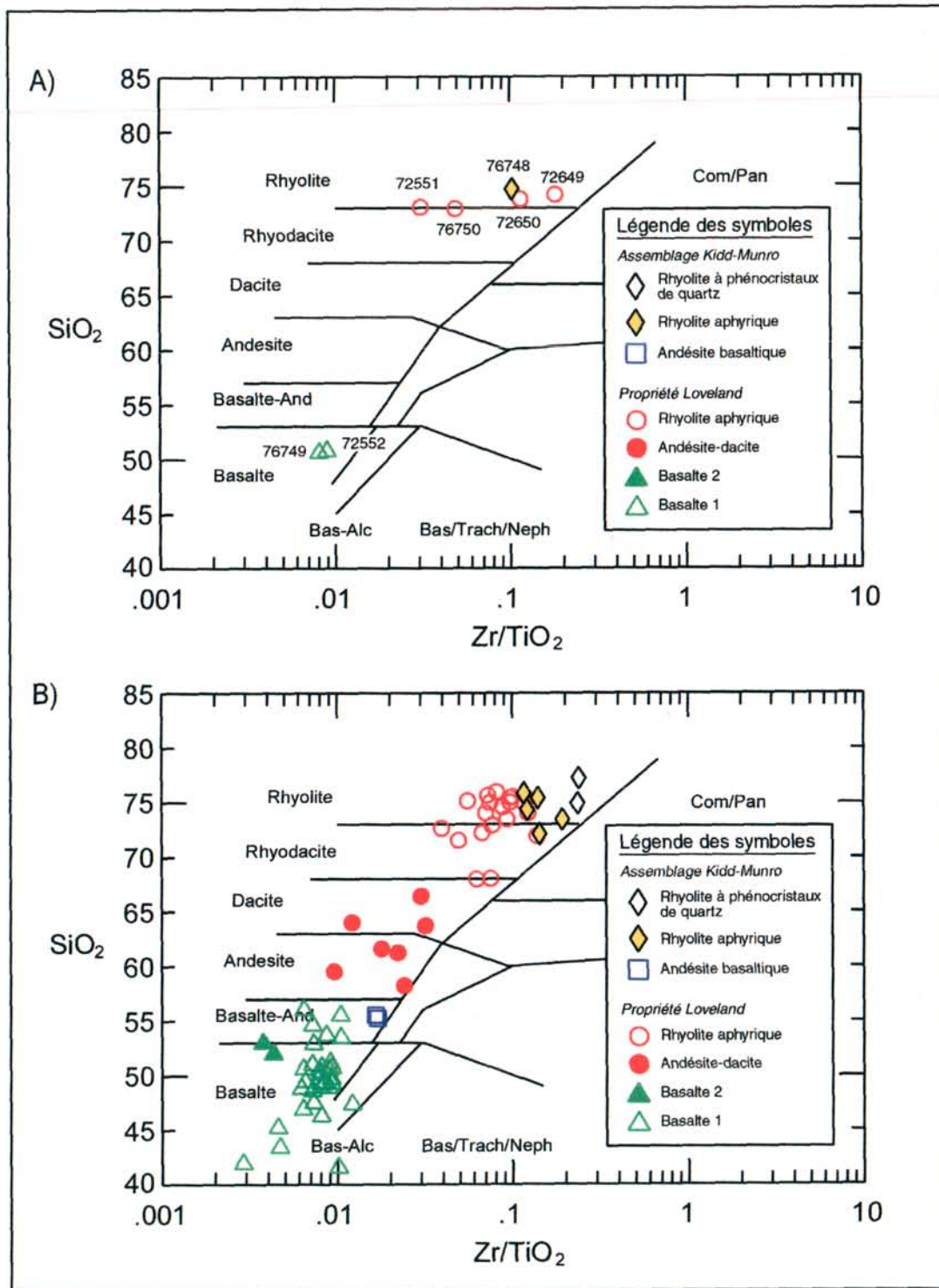


Figure 3 : Diagramme de classification SiO₂ vs Zr/TiO₂ (modifié de Winchester et Floyd, 1977).
 A) Échantillons de cette étude. B) Échantillons compilés.

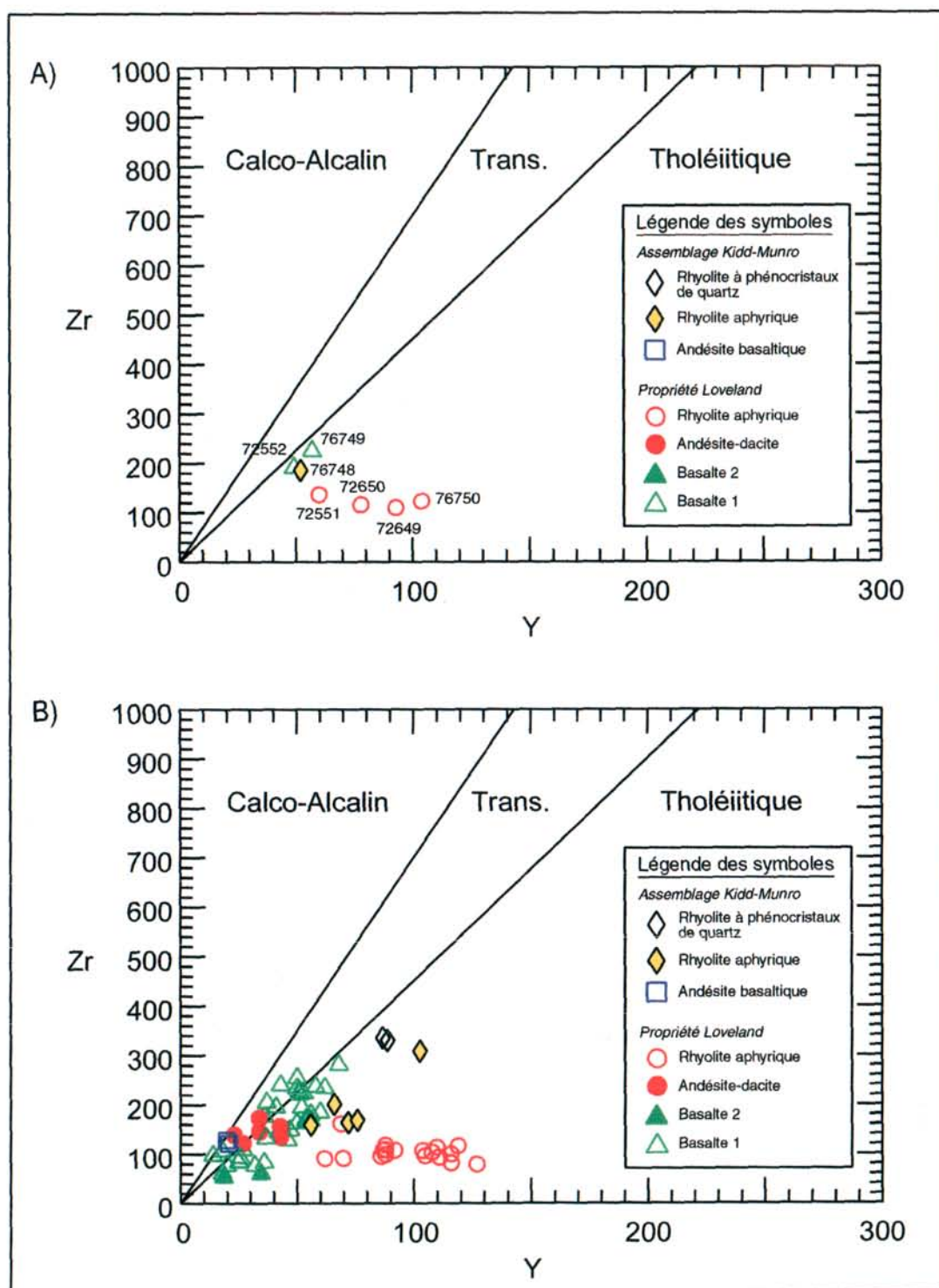


Figure 4 : Diagramme d'affinité magmatique Zr/Y(champs définis par Barrett et MacLean, 1999).
 A) Échantillons de cette étude. B) Échantillons compilés.

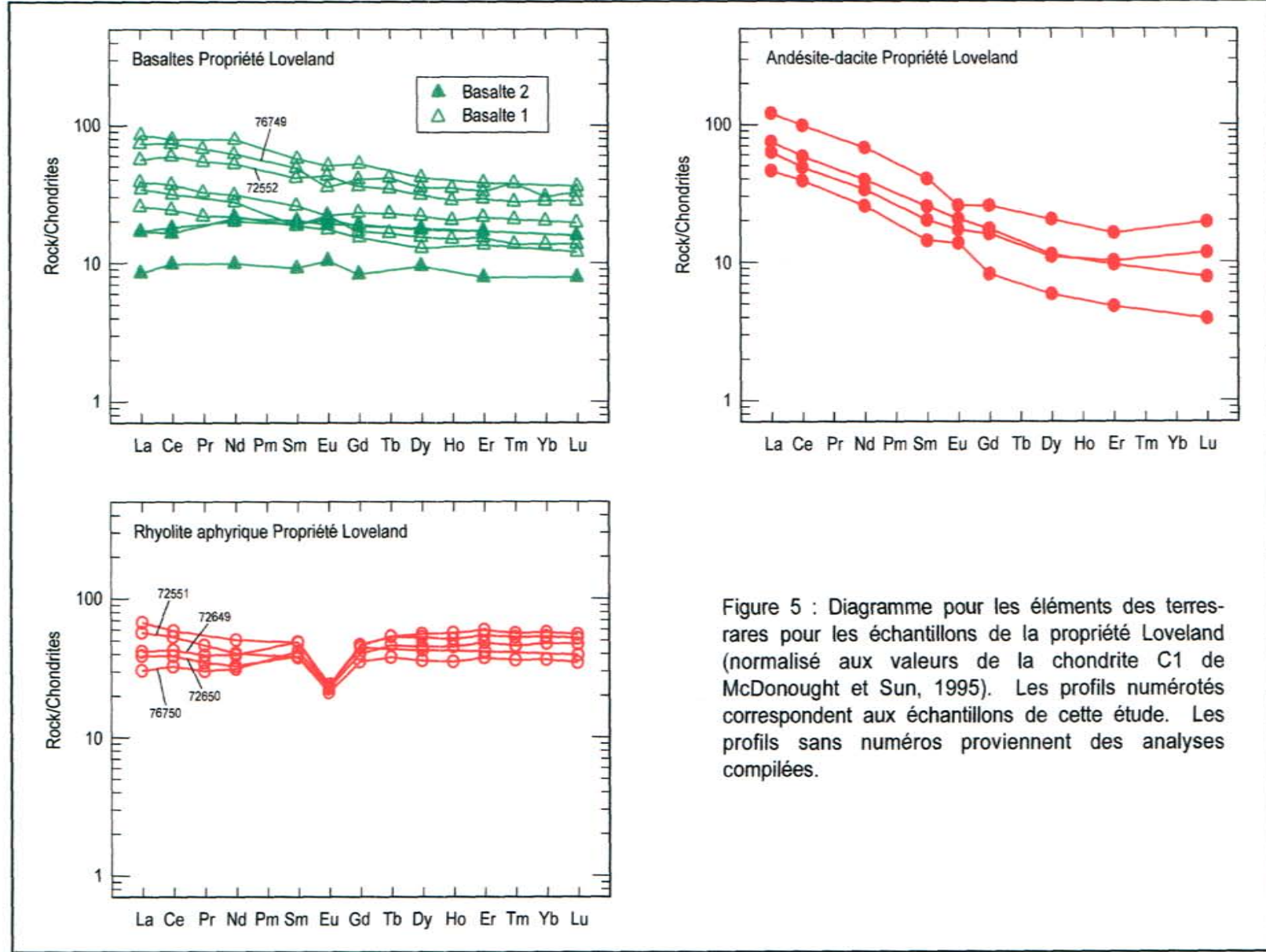
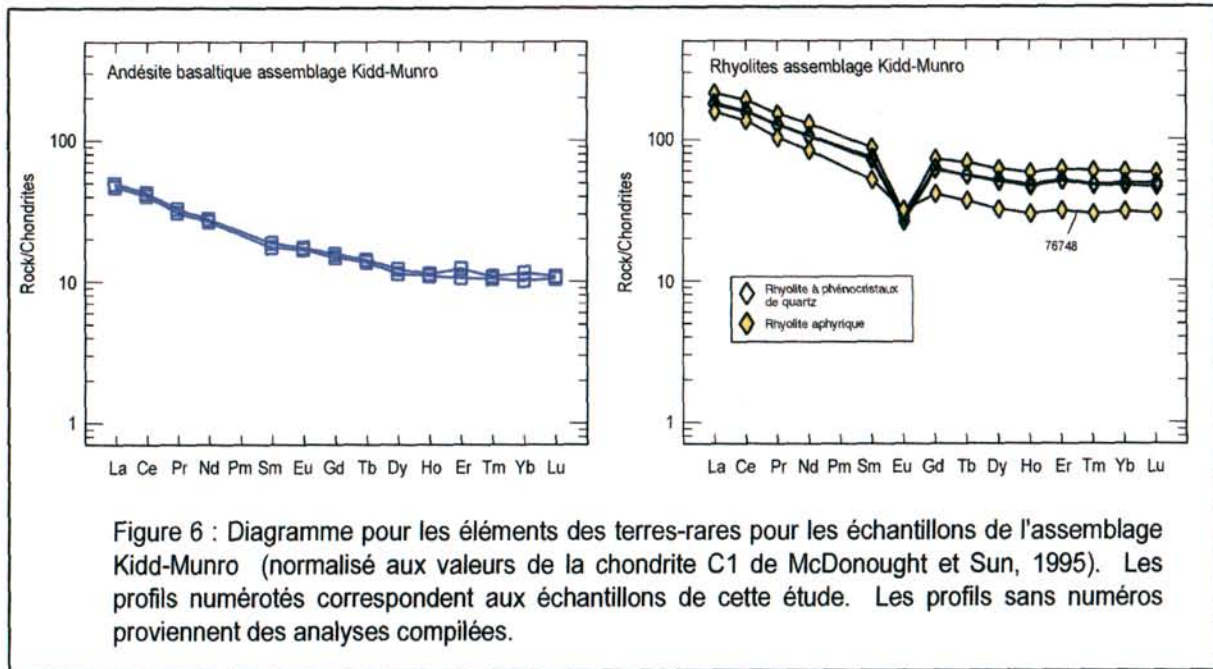


Figure 5 : Diagramme pour les éléments des terres-rars pour les échantillons de la propriété Loveland (normalisé aux valeurs de la chondrite C1 de McDonough et Sun, 1995). Les profils numérotés correspondent aux échantillons de cette étude. Les profils sans numéros proviennent des analyses compilées.



ALTÉRATION

En général les roches de la propriété sont très peu altérées mis à part les tufs lithiques interstratifiés avec les argilites graphiteuses qui sont moyennement séricitisées. Il existe également une zone à grenat dans la rhyolite Loveland immédiatement au sud de la propriété et dans les forages L-11-10 et L-11-11. Il n'est cependant pas clair si ces grenats sont reliés à une altération hydrothermale de type SMV ou au métamorphisme associé à la zone de faille est-ouest au sud de la propriété ou encore au métamorphisme de contact associé aux intrusions.

MINÉRALISATION

La seule minéralisation significative de la propriété est l'intersection d'un niveau massif de 0,5m de pyrrhotine avec trace de sphalérite qui est contenu dans un tuf felsique interstratifié avec les sédiments graphiteux. Les analyses pour métaux dans ce forage de Mespi Mine (RL-2) ont retournées des valeurs de 2,87% Zn et 0,33% Cu sur 1,55m. Plusieurs autres forages ont recoupés cet horizon de sédiments graphiteux sans toutefois générer d'autres valeurs métalliques intéressantes. L'intersection la plus profonde de cet horizon dans le trou L-11-11 (-300m vertical) a notamment retournée aucunes valeurs plus haute que 317 ppm de Zn ou de Cu.

Le tuf à lapillis de l'unité d'andésite-dacite qui est observé dans une vieille tranchée de l'affleurement LOV-06-01 contient de la PY-PO-CP. Le tuf en place contenait 1% de pyrite alors que quelques blocs extraits de la tranchée contenaient 5-10% de Po-Cp.

Quatre blocs erratiques minéralisés en Ni-Cu sont aussi présent à la limite nord de la propriété. Des échantillons choisis ont été prélevés sur ces blocs. Les valeurs varient de 0,5 à 1,5 % Ni et 0,5 à 2 % Cu (Bright et Hunt, 1973).

Deux échantillons pour analyse de métaux ont été prélevés lors de notre levé géologique; un dans un bloc provenant de la tranchée de l’affleurement LOV-06-01 pour le contenu en métaux de base (échantillon 111311) et un autre dans la formation de fer qui contenait des traces de pyrite pour le contenu aurifère (échantillon 111312, affleurement LOV-06-03). Les échantillons sont localisés sur la carte de l’annexe 1 alors que les résultats d’analyses sont présentés à l’annexe 2. L’échantillon provenant de la tranchée contenait 1025 ppm de Cu alors que l’échantillon de la formation de fer ne contenait pas d’or.

CONCLUSION

La compilation et le levé géologique ont permis de définir que :

- 1) les contacts lithologiques sont orientés NE-SW sur la propriété Loveland.
- 2) Les linéaments géophysiques qui possèdent la même orientation peuvent donc être expliqués par la présence d’un horizon d’argilite graphiteuse avec pyrrhotine ou de formation de fer à magnétite.
- 3) La caractérisation lithogéochimique permet de dire que les roches volcaniques de la propriété Loveland sont différentes de celles de l’assemblage Kidd-Munro situé immédiatement à l’est.
- 4) La lithogéochimie permet aussi de dire que les volcanites de la propriété Loveland sont probablement différentes des roches de l’assemblage Blake River qui sont situées immédiatement au sud (camp minier de Kamiskotia).

Ces résultats, en plus de la présence de nombreux forages infructueux suggèrent que la propriété Loveland ne possède pas le potentiel de découverte de SMV qui est reconnu pour les assemblages Kidd-Munro et Blake River.

RÉFÉRENCES

- Ayer, J.A., Thurston, P.C., Bateman, R., Dubé, B., Gibson, H.L., Hamilton, M.A., Hathway, B., Hocker, S.M., Houlé, M.G., Hudak, G., Ispolatov, V.O., Lafrance, B., Leshner, C.M., MacDonald, P.J., Péloquin, A.S., Piercey, S.J., Reed, L.E. and Thompson, P.H. 2005. Overview of results from the Greenstone Architecture Project: Discover Abitibi Initiative; Ontario Geological Survey, Open File Report 6154, 146p.
- Barrie, C.T., 2004. Geochemistry of exhalites and graphitic argillites near VMS and gold deposits. Ontario Geological Survey. Miscellaneous release data, MRD173, 21p.
- Berry, L.G., Ferguson, S.A., 1944. Robb-Jamieson area, District of Cochrane, Ontario. Ontario Ministry of Northern Development and Mines, Ontario Geological Survey. Annual report map, ARM53C.
- Bright, E.G., Hunt, D.S., 1973. Loveland township, district of Cochrane. Ontario division of mines, preliminary map P.839, Timmins data series, échelle 1 pouce au ¼ miles.
- Geoterrex Ltd., 1988. Geophysical/geochemical series, Timmins area, Loveland Township, airborne electromagnetic survey, total intensity magnetic survey, districts of Cochrane and Timiskaming. Ontario Ministry of Northern Development and Mines, Ontario Geological Survey. Map, 80 000 Series, M81060.
- Hathway, B., 2005. Precambrian geology, parts of Godfrey, Robb, Jamieson, Loveland, MacDiarmid and thornburn townships. Ontario geological Survey, Preliminary Map P.3556, échelle 1 :20 000.
- Hathway, B., Hudak, G. and Hamilton, M.A. 2005. Geological setting of volcanogenic massive sulphide mineralization in the Kamiskotia area: Discover Abitibi Initiative; Ontario Geological Survey, Open File Report 6155, 81p.
- Middleton, R.S., 1974. Magnetic survey of Loveland and Macdiarmid townships, District of Cochrane. Ontario Ministry of Northern Development and Mines, Ontario Geological Survey. Geophysical Report, GPR02.
- Ontario Geological Survey, 2003. Airborne Magnetic and Electromagnetic Surveys, Residual Magnetic Field and Electromagnetic Anomalies, Kamiskotia Area. Ontario Ministry of Northern Development and Mines, Ontario Geological Survey. Map, 80 000 Series, M81753.
- Schandl, E.S., Gorton, M.P., Bleeker, W., 1999. A systematic study of rare earth and trace element geochemistry of host rocks to the Kidd Creek volcanogenic massive sulfide deposit. Economic Geologic, Monograph 10, pp. 309-334.

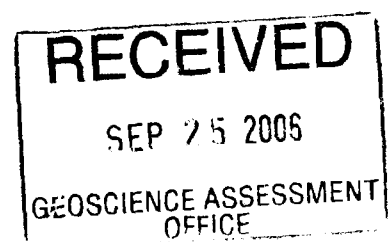
ANNEXE 1

**Carte géologique de la propriété Loveland
(1 : 10 000) avec localisation des affleurements et
des échantillons**

ANNEXE 2

**Certificats d'analyses de métaux et
lithogéochimiques de 2006**

2.33144





ALS Chemex

EXCELLENCE EN ANALYSE CHIMIQUE

ALS Canada Ltd.

212 Brooksbank Avenue
North Vancouver BC V7J 2C1

Téléphone: 604 984 0221 Télécopieur: 604 984 0218 www.alschemex.com

À: RESSOURCES COGITORE
1300, SAGUENAY, BUREAU 200
ROUYN-NORANDA QC J9X 7C3

Page: 1
Finalisée Date: 25-JUIN-2006
Compte: WOODCAP

CERTIFICAT VO06042019

Projet: LOVELAND-202

Bon de commande #:

Ce rapport s'applique aux 14 échantillons de carotte forage soumis à notre laboratoire le Val d'Or, QC, Canada de 15-MAI-2006.

Les résultats sont transmis à:

TONY BRISSON

TREMBLAY JULES

BENOÎT LAFRANCE

PRÉPARATION ÉCHANTILLONS

CODE ALS	DESCRIPTION
WEI-21	Poids échantillon reçu
PUL-QC	Test concassage QC
LOG-22	Entrée échantillon - Reçu sans code barre
CRU-31	Granulation - 70 % <2 mm
SPL-21	Échant. fractionné - div. riffles
PUL-31	Pulvérisé à 85 % <75 um

PROCÉDURES ANALYTIQUES

CODE ALS	DESCRIPTION	INSTRUMENT
ME-XRF06	Roche totale - XRF	XRF
OA-GRA06	Perte par calcination pour ME-XRF06	WST-SIM
ME-XRF05	Analyse XRF de degré trace	XRF
ME-MS81	Fusion 38 éléments ICP-MS	ICP-MS

À: RESSOURCES COGITORE
ATTN: TREMBLAY JULES
1300, SAGUENAY, BUREAU 200
ROUYN-NORANDA QC J9X 7C3

Ce rapport est final et remplace tout autre rapport préliminaire portant ce numéro de certificat. Les résultats s'appliquent aux échantillons soumis. Toutes les pages de ce rapport ont été vérifiées et approuvées avant publication.

Signature:

Keith Rogers, Executive Manager Vancouver Laboratory



ALS Chemex

EXCELLENCE EN ANALYSE CHIMIQUE

ALS Canada Ltd.

212 Brooksbank Avenue

North Vancouver BC V7J 2C1

Téléphone: 604 984 0221 Télécopieur: 604 984 0218 www.alschemex.com

À: RESSOURCES COGITORE
1300, SAGUENAY, BUREAU 200
ROUYN-NORANDA QC J9X 7C3

Page: 2 - A
Nombre Total de Pages: 2 (A - D)
Finalisée Date: 25-JUIN-2006
Compte: WOODCAP

Projet: LOVELAND-202

CERTIFICAT D'ANALYSE VO06042019

Description échantillon	Méthode élément unités L.D.	WEI-21	ME-MS81	ME-MS81	ME-MS81	ME-MS81	ME-XRF06	ME-XRF06	ME-XRF06	ME-XRF06	ME-XRF06	ME-XRF06	ME-XRF06	ME-XRF06	ME-XRF06	
		Poids reçu kg	Cu ppm	Zn ppm	Pb ppm	Ag ppm	MgO %	CaO %	Na2O %	K2O %	SiO2 %	TiO2 %	Al2O3 %	MnO %	P2O5 %	LOI %
		0.02	5	5	5	1	0.01	0.01	0.01	0.01	0.01	0.01	0.01	0.01	0.01	
72551		0.30	18	56	<5	<1	0.37	2.45	3.45	2.26	73.03	0.44	12.86	0.08	0.07	1.90
72552		0.38	15	172	<5	<1	3.31	8.93	2.81	0.25	50.75	2.14	13.99	0.29	0.38	0.74
72553		0.50	27	88	<5	<1	4.68	14.30	1.42	0.65	50.53	1.27	16.04	0.17	0.15	1.30
72554		0.46	40	99	5	<1	4.06	6.09	4.09	0.70	55.33	0.76	17.41	0.12	0.14	2.09
72555		0.61	16	71	6	<1	0.53	4.60	1.82	1.50	73.48	0.16	12.88	0.04	0.03	1.19
72649		0.42	11	179	12	2	0.28	1.76	4.07	2.20	74.16	0.06	13.92	0.02	0.02	1.81
72650		0.47	8	47	<5	<1	0.27	1.53	3.53	3.28	73.75	0.10	13.22	0.01	<0.01	1.26
76744		0.62	6	81	<5	<1	0.41	2.35	0.43	4.26	74.98	0.14	11.37	0.07	<0.01	1.82
76745		0.74	20	116	<5	<1	0.25	3.10	2.13	1.43	77.27	0.14	11.35	0.03	0.01	1.05
76746		0.38	72	82	<5	<1	4.06	9.17	3.11	0.75	55.61	0.74	16.20	0.12	0.13	1.05
76747		0.51	90	164	6	<1	5.11	5.28	3.64	0.54	53.62	1.47	13.39	0.30	0.15	4.39
76748		0.54	28	72	10	<1	0.39	2.63	2.93	2.02	74.70	0.18	13.31	0.05	0.02	1.52
76749		0.55	16	226	<5	<1	2.68	7.19	1.70	0.43	50.61	2.79	13.38	0.27	0.43	0.90
76750		0.41	23	225	6	<1	0.11	1.24	5.42	2.11	72.89	0.25	13.96	0.03	0.04	1.30



ALS Chemex

EXCELLENCE EN ANALYSE CHIMIQUE

ALS Canada Ltd.

212 Brooksbank Avenue
North Vancouver BC V7J 2C1

Téléphone: 604 984 0221 Télécopieur: 604 984 0218 www.alschemex.com

À: RESSOURCES COGITORE
1300, SAGUENAY, BUREAU 200
ROUYN-NORANDA QC J9X 7C3

Page: 2 - B
Nombre Total de Pages: 2 (A - D)
Finalisée Date: 25-JUIN-2006
Compte: WOODCAP

Projet: LOVELAND-202

CERTIFICAT D'ANALYSE VO06042019

Description échantillon	Méthode élément unités L.D.	ME-XRF05	ME-MS81	ME-XRF05	ME-MS81	ME-XRF06	ME-MS81	ME-XRF06	ME-XRF05	ME-XRF05	ME-MS81	ME-XRF05	ME-MS81	ME-MS81	ME-MS81	
		Ba	Ba	Zr	Ni	Total	Mo	Fe2O3	Y	Nb	Nb	Rb	Rb	Cr	V	Sn
		ppm	ppm	ppm	ppm	%	ppm	%	ppm	ppm	ppm	ppm	ppm	ppm	ppm	ppm
		10	0.5	2	5	0.01	2	0.01	2	2	0.2	2	0.2	10	5	1
72551		400	383	136	23	99.88	<2	2.88	60	16	18.8	67	61.6	70	35	4
72552		180	83.8	191	35	100.10	<2	16.45	49	10	12.0	7	4.4	50	71	2
72553		150	92.1	94	75	100.05	<2	9.50	25	4	4.8	30	27.0	130	247	1
72554		310	258	130	59	99.46	<2	8.59	19	5	5.1	25	22.5	60	136	1
72555		520	477	310	<5	99.72	3	3.41	102	29	28.6	61	57.9	20	<5	5
72649		860	809	109	<5	99.94	<2	1.53	93	23	23.6	73	71.5	10	<5	7
72650		1180	1170	115	6	99.16	2	2.04	78	19	20.2	67	64.6	20	<5	2
76744		310	282	332	<5	98.71	<2	2.80	88	22	23.3	135	133.0	10	<5	5
76745		580	541	337	<5	99.95	2	3.02	86	22	23.1	81	78.0	20	<5	5
76746		140	110.0	123	86	99.88	<2	8.88	20	5	5.0	25	22.7	120	148	1
76747		300	219	134	22	99.92	<2	11.98	36	4	5.2	8	6.0	10	341	1
76748		410	392	185	6	100.00	<2	2.19	52	13	13.6	48	46.7	10	<5	3
76749		220	97.7	225	<5	99.93	<2	19.52	57	12	12.6	21	18.2	10	69	2
76750		380	391	122	5	99.70	2	2.30	104	21	21.4	51	48.7	20	<5	4



ALS Chemex

EXCELLENCE EN ANALYSE CHIMIQUE

ALS Canada Ltd.

212 Brooksbank Avenue
 North Vancouver BC V7J 2C1
 Téléphone: 604 984 0221 Télécopieur: 604 984 0218 www.alschemex.com

À: RESSOURCES COGITORE
 1300, SAGUENAY, BUREAU 200
 ROUYN-NORANDA QC J9X 7C3

Page: 2 - C
 Nombre Total de Pages: 2 (A - D)
 Finalisée Date: 25-JUIN-2006
 Compte: WOODCAP

Projet: LOVELAND-202

CERTIFICAT D'ANALYSE VO06042019

Description échantillon	Méthode élément unités L.D.	ME-MS81	ME-XRF06	ME-XRF06	ME-XRF06	ME-MS81	ME-MS81	ME-MS81	ME-MS81	ME-MS81						
		W	La	Sr	Co	Ga	Ta	Zr	Cr2O3	SrO	BaO	Ce	Cs	Dy	Er	Eu
		ppm	%	%	%	ppm	ppm	ppm	ppm	ppm						
		1	0.5	0.1	0.5	0.1	0.1	0.5	0.01	0.01	0.01	0.5	0.01	0.05	0.03	0.03
72551		1	13.7	73.5	5.3	19.2	1.1	130.5	<0.01	0.02	0.06	33.0	0.61	9.19	6.26	1.24
72552		<1	13.4	158.0	36.3	20.5	0.6	179.5	0.01	0.02	0.02	36.7	0.18	7.95	4.86	2.51
72553		<1	6.1	106.0	47.3	21.1	0.3	89.1	0.03	0.01	0.03	15.0	0.12	3.93	2.54	1.29
72554		6	11.2	242	27.0	17.9	0.4	118.5	0.02	0.03	0.04	25.1	0.29	2.93	1.78	0.99
72555		2	50.7	226	1.0	20.5	1.9	288	0.01	0.03	0.05	117.5	0.50	15.70	10.20	1.71
72649		3	10.0	73.2	2.1	26.1	1.9	102.0	0.01	0.01	0.09	26.4	0.53	13.55	9.12	1.32
72650		6	9.3	61.2	3.5	23.3	1.7	107.0	0.02	0.01	0.14	24.0	1.16	11.60	8.06	1.34
76744		5	42.2	37.1	0.5	19.0	1.6	309	0.03	<0.01	0.04	96.5	9.05	13.10	8.58	1.53
76745		7	43.3	178.0	0.8	19.0	1.8	312	0.07	0.02	0.08	97.8	2.99	12.80	8.42	1.66
76746		4	11.8	107.5	29.4	19.6	0.4	116.0	0.02	0.01	0.03	26.3	1.18	3.15	2.07	1.02
76747		7	9.2	64.7	50.7	19.4	0.4	124.5	<0.01	0.01	0.03	22.8	0.06	5.61	3.58	1.29
76748		9	37.4	98.2	1.7	20.5	1.1	174.0	<0.01	0.02	0.04	83.6	1.09	8.17	5.21	1.85
76749		5	17.6	116.0	34.4	24.0	0.7	216	<0.01	0.01	0.02	45.5	1.06	8.98	5.49	2.07
76750		6	7.3	48.1	2.6	22.1	1.7	114.5	<0.01	0.01	0.05	20.2	0.50	14.30	9.93	1.40



ALS Chemex

EXCELLENCE EN ANALYSE CHIMIQUE

ALS Canada Ltd.

212 Brooksbank Avenue
North Vancouver BC V7J 2C1

Téléphone: 604 984 0221 Télécopieur: 604 984 0218 www.alschemex.com

A: RESSOURCES COGITORE
1300, SAGUENAY, BUREAU 200
ROUYN-NORANDA QC J9X 7C3

Page: 2 - D
Nombre Total de Pages: 2 (A - D)
Finalisée Date: 25-JUIN-2006
Compte: WOODCAP

Projet: LOVELAND-202

CERTIFICAT D'ANALYSE VO06042019

Description échantillon	Méthode élément unités L.D.	ME-MS81	ME-MS81	ME-MS81	ME-MS81	ME-MS81	ME-MS81	ME-MS81	ME-MS81	ME-MS81	ME-MS81	ME-MS81	ME-MS81	ME-MS81	
		Gd ppm 0.05	Hf ppm 0.2	Ho ppm 0.01	Lu ppm 0.01	Nd ppm 0.1	Pr ppm 0.03	Sm ppm 0.03	Tb ppm 0.01	Th ppm 0.05	Tl ppm 0.5	Tm ppm 0.01	U ppm 0.05	Y ppm 0.5	Yb ppm 0.03
72551		7.30	4.8	2.01	0.89	19.1	4.44	5.87	1.43	3.21	<0.5	0.93	0.96	51.8	6.26
72552		7.43	4.7	1.62	0.72	24.6	5.20	6.37	1.30	0.98	<0.5	0.71	0.18	41.2	4.82
72553		3.50	2.3	0.85	0.35	10.2	2.09	2.88	0.62	0.47	<0.5	0.35	0.10	20.7	2.34
72554		3.09	3.0	0.63	0.27	12.6	2.96	2.70	0.52	1.75	<0.5	0.27	0.40	16.1	1.74
72555		15.00	10.0	3.31	1.48	60.8	14.50	13.50	2.58	6.98	<0.5	1.53	1.70	88.8	10.10
72649		9.65	5.6	2.92	1.33	18.6	3.77	7.55	2.01	5.12	<0.5	1.36	1.73	80.9	9.16
72650		8.33	5.3	2.58	1.21	15.5	3.34	5.97	1.74	4.86	<0.5	1.18	1.56	66.8	8.18
76744		12.60	9.7	2.73	1.25	49.5	12.10	11.10	2.10	6.17	<0.5	1.23	1.49	75.0	8.42
76745		12.90	10.0	2.64	1.18	50.2	12.20	11.50	2.08	6.10	<0.5	1.21	1.70	74.0	8.04
76746		3.26	3.0	0.65	0.28	13.1	3.14	2.90	0.54	1.34	<0.5	0.28	0.31	17.5	1.98
76747		4.79	3.4	1.16	0.50	14.6	3.11	4.01	0.86	1.38	<0.5	0.53	0.28	31.0	3.45
76748		8.46	5.7	1.69	0.77	39.3	9.88	7.97	1.38	4.88	<0.5	0.76	1.06	44.9	5.27
76749		8.33	6.1	1.99	0.83	29.1	6.49	7.55	1.56	1.24	<0.5	0.97	0.31	49.2	5.15
76750		9.51	5.4	3.24	1.42	14.8	2.90	6.43	2.02	4.41	<0.5	1.45	1.50	89.5	9.84



ALS Chemex

EXCELLENCE EN ANALYSE CHIMIQUE

ALS Canada Ltd.

212 Brooksbank Avenue
North Vancouver BC V7J 2C1

Téléphone: 604 984 0221 Télécopieur: 604 984 0218 www.alschemex.com

À: RESSOURCES COGITORE
1300, SAGUENAY, BUREAU 200
ROUYN-NORANDA QC J9X 7C3

Page: 1
Finalisée Date: 13-JUIN-2006
Compte: WOODCAP

CERTIFICAT VO06042030

Projet: LOVELAND-202

Bon de commande #:

Ce rapport s'applique aux 2 échantillons de carotte forage soumis à notre laboratoire le Val d'Or, QC, Canada de 15-MAI-2006.

Les résultats sont transmis à:

TONY BRISSON

TREMBLAY JULES

BENOÎT LAFRANCE

PRÉPARATION ÉCHANTILLONS

CODE ALS	DESCRIPTION
WEI-21	Poids échantillon reçu
LOG-22	Entrée échantillon - Reçu sans code barre
CRU-31	Granulation - 70 % <2 mm
SPL-21	Échant. fractionné - div. riffles
PUL-31	Pulvérisé à 85 % <75 um

PROCÉDURES ANALYTIQUES

CODE ALS	DESCRIPTION	INSTRUMENT
Au-AA23	Au 30 g fini FA-AA	AAS
ME-ICP41	Aqua regia ICP-AES 34 éléments	ICP-AES

À: RESSOURCES COGITORE
ATTN: TREMBLAY JULES
1300, SAGUENAY, BUREAU 200
ROUYN-NORANDA QC J9X 7C3

Ce rapport est final et remplace tout autre rapport préliminaire portant ce numéro de certificat. Les résultats s'appliquent aux échantillons soumis. Toutes les pages de ce rapport ont été vérifiées et approuvées avant publication.

Signature:

Keith Rogers, Executive Manager Vancouver Laboratory



ALS Chemex

EXCELLENCE EN ANALYSE CHIMIQUE

ALS Canada Ltd.

212 Brooksbank Avenue
North Vancouver BC V7J 2C1

Téléphone: 604 984 0221 Télécopieur: 604 984 0218 www.alschemex.com

À: RESSOURCES COGITORE
1300, SAGUENAY, BUREAU 200
ROUYN-NORANDA QC J9X 7C3

Page: 2 - A
Nombre Total de Pages: 2 (A - C)
Finalisée Date: 13-JUIN-2006
Compte: WOODCAP

Projet: LOVELAND-202

CERTIFICAT D'ANALYSE VO06042030

Description échantillon	Méthode élément unités L.D.	WEI-21	ME-ICP41	ME-ICP41	ME-ICP41	ME-ICP41	Au-AA23	ME-ICP41	ME-ICP41	ME-ICP41	ME-ICP41	ME-ICP41	ME-ICP41	ME-ICP41	ME-ICP41	ME-ICP41
		Poids reçu kg	Cu ppm	Zn ppm	Pb ppm	Ag ppm	Au ppb	Mo ppm	As ppm	Sb ppm	S %	Al %	Ba ppm	Bi ppm	Ca %	Cd ppm
111311		0.68	1025	14	<2	0.4	7	<1	2	2	3.59	0.18	<10	<2	0.51	<0.5
111312		0.51	31	8	2	<0.2	<5	<1	<2	<2	0.08	0.02	<10	<2	0.31	0.5



ALS Chemex

EXCELLENCE EN ANALYSE CHIMIQUE

ALS Canada Ltd.

212 Brooksbank Avenue
North Vancouver BC V7J 2C1

Téléphone: 604 984 0221 Télécopieur: 604 984 0218 www.alschemex.com

A: RESSOURCES COGITORE
1300, SAGUENAY, BUREAU 200
ROUYN-NORANDA QC J9X 7C3

Page: 2 - B
Nombre Total de Pages: 2 (A - C)
Finalisée Date: 13-JUIN-2006
Compte: WOODCAP

Projet: LOVELAND-202

CERTIFICAT D'ANALYSE VO06042030

Description échantillon	Méthode élément unités L.D.	ME-ICP41	ME-ICP41	ME-ICP41	ME-ICP41	ME-ICP41	ME-ICP41	ME-ICP41	ME-ICP41	ME-ICP41	ME-ICP41	ME-ICP41	ME-ICP41	ME-ICP41	ME-ICP41	
		Co ppm 1	Cr ppm 1	Fe % 0.01	Ga ppm 10	K % 0.01	La ppm 10	Mg % 0.01	Mn ppm 5	Na % 0.01	Ni ppm 1	Sc ppm 1	Sr ppm 1	Ti % 0.01	V ppm 1	W ppm 10
111311		65	13	7.49	<10	0.01	<10	0.16	340	0.01	111	1	4	0.01	4	<10
111312		<1	4	15.0	<10	<0.01	<10	0.11	165	<0.01	5	<1	4	0.01	13	<10



ALS Chemex

EXCELLENCE EN ANALYSE CHIMIQUE

ALS Canada Ltd.

212 Brooksbank Avenue
North Vancouver BC V7J 2C1

Téléphone: 604 984 0221 Télécopieur: 604 984 0218 www.alschemex.com

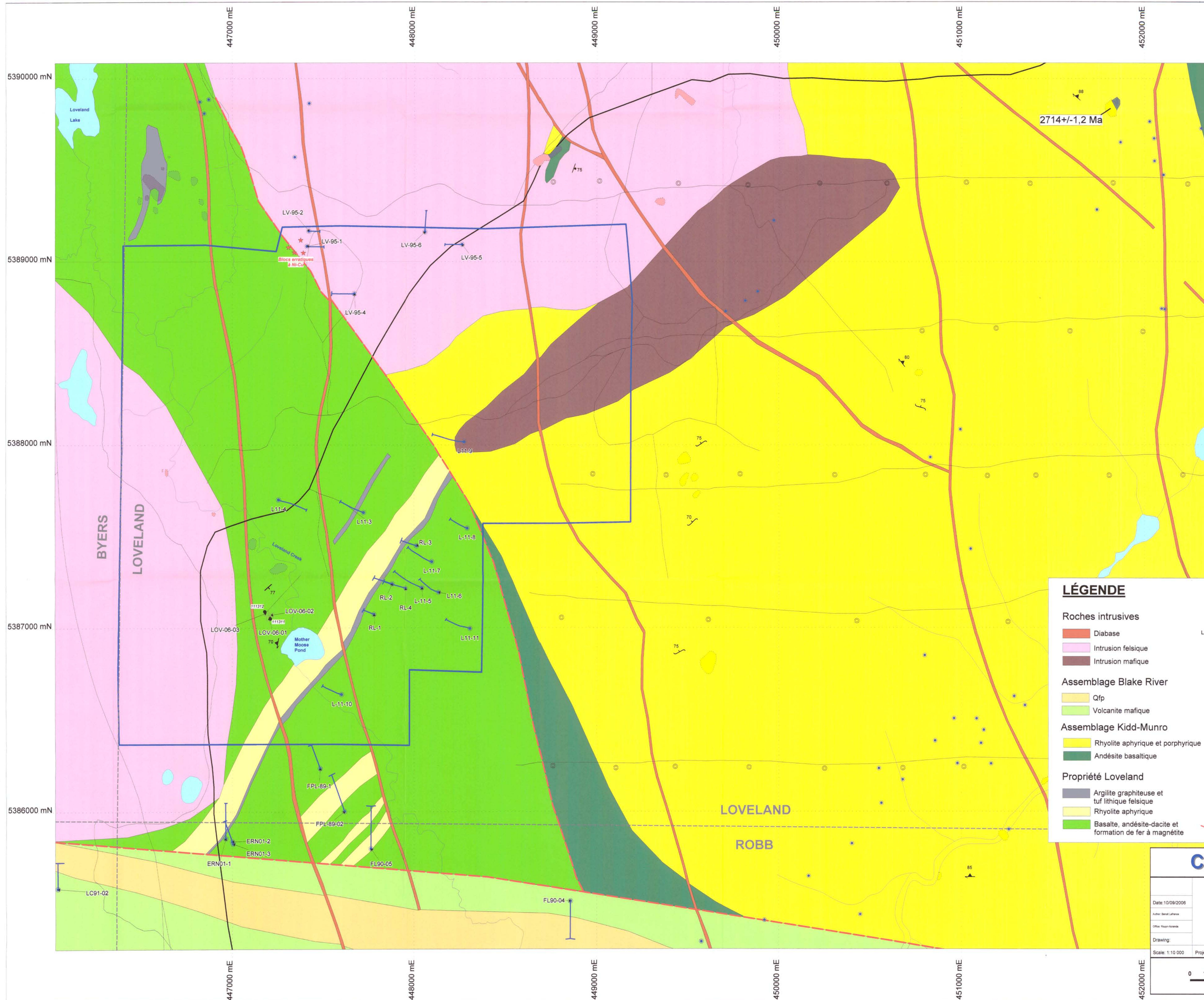
À: RESSOURCES COGITORE
1300, SAGUENAY, BUREAU 200
ROUYN-NORANDA QC J9X 7C3

Page: 2 - C
Nombre Total de Pages: 2 (A - C)
Finalisée Date: 13-JUIN-2006
Compte: WOODCAP

Projet: LOVELAND-202

CERTIFICAT D'ANALYSE VO06042030

Description échantillon	Méthode élément unités L.D.	ME-ICP41	ME-ICP41	ME-ICP41	ME-ICP41	ME-ICP41	ME-ICP41
		B	Be	Hg	P	Tl	U
		ppm	ppm	ppm	ppm	ppm	ppm
111311	10	<10	<0.5	<1	100	<10	<10
111312		<10	<0.5	<1	430	<10	<10



LÉGENDE

Roches intrusives

- Diabase
- Intrusion felsique
- Intrusion mafique

Assemblage Blake River

- Qfp
- Volcanite mafique

Assemblage Kidd-Munro

- Rhyolite aphyrique et porphyrique
- Andésite basaltique

Propriété Loveland

- Argilite graphiteuse et tuf lithique felsique
- Rhyolite aphyrique
- Basalte, andésite-dacite et formation de fer à magnétite

CC

Date: 10/08/2006
 Author: Bernd Lefebvre
 Office: Pease-Neve
 Drawing:
 Scale: 1:10 000 Projection

0 100